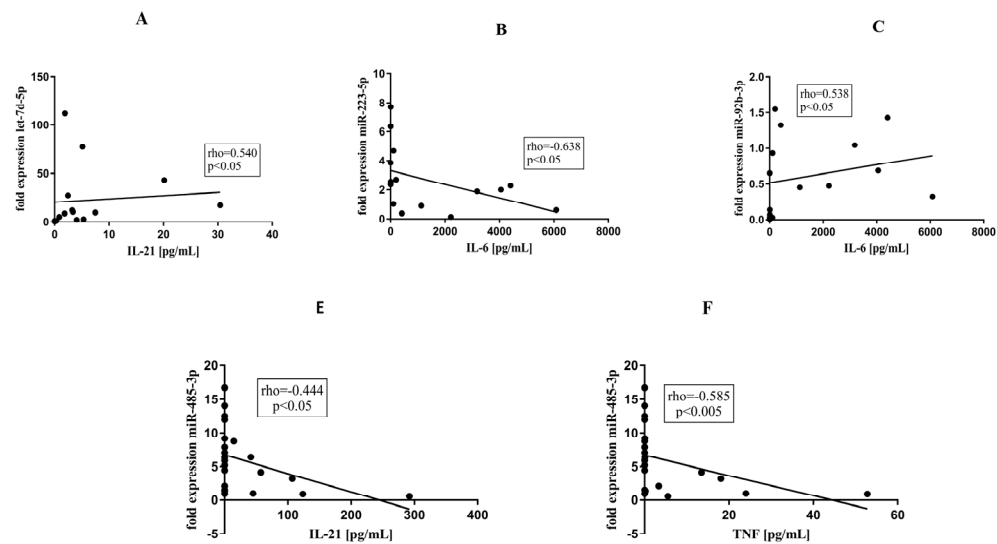


Supplementary Figure S1. Correlation analyses in PsA (A) and RA (B-D) group of patients.



Supplementary Figure S2. Correlation analyses of serum cytokine levels with miR expression in RA group of patients (A-C) and AS group of patients (E-F).

Variables	AUC	Standarized error	P	Confidence Intervals		Threshold
				Lower Bound	Upper Bound	
<b>mir485-3</b>	<b>0,65</b>	<b>0,08</b>	<b>0,05</b>	<b>0,50</b>	<b>0,80</b>	<b>1,00</b>
mir92	0,64	0,08	0,09	0,48	0,81	
<b>miR26-a-2-3</b>	<b>0,82</b>	<b>0,07</b>	<b>0,00</b>	<b>0,68</b>	<b>0,95</b>	<b>6,00</b>
miR10-b-5p	0,66	0,10	0,11	0,47	0,85	
mir146-3-p	0,66	0,09	0,10	0,47	0,84	
mir-233	0,60	0,09	0,25	0,43	0,78	
mir-222	0,41	0,08	0,29	0,25	0,58	
mir-let7d	0,51	0,09	0,92	0,34	0,68	

Table S1A ROC curves for miRs distinguishing PsA

Variables	AUC	Standarized error	P	Confidence Intervals		Threshold
				Lower Bound	Upper Bound	
<b>mir485-3</b>	<b>0,72</b>	<b>0,06</b>	<b>0,00</b>	<b>0,60</b>	<b>0,84</b>	<b>5,10</b>
mir92	0,50	0,07	0,96	0,36	0,65	
<b>miR26-a-2-3</b>	<b>0,66</b>	<b>0,06</b>	<b>0,01</b>	<b>0,54</b>	<b>0,79</b>	<b>2,10</b>
miR10-b-5p	0,62	0,06	0,06	0,49	0,75	
mir146-3-p	0,47	0,07	0,68	0,34	0,61	
mir-233	0,47	0,07	0,64	0,33	0,60	
mir-222	0,60	0,07	0,15	0,46	0,73	
mir-let7d	0,40	0,07	0,11	0,27	0,52	

Table S1B ROC curves for miRs distinguishing AS

Variables	AUC	Standarized error	P	Confidence Intervals		Threshold
				Lower Bound	Upper Bound	
mir485-3	0,47	0,08	0,69	0,32	0,62	
mir92	0,31	0,08	0,02	0,15	0,46	
miR26-a-2-3	0,37	0,07	0,07	0,22	0,51	
miR10-b-5p	0,27	0,08	0,01	0,11	0,43	

<b>mir146-3-p</b>	<b>0,65</b>	<b>0,07</b>	<b>0,03</b>	<b>0,51</b>	<b>0,79</b>	<b>1,20</b>
mir-233	0,58	0,09	0,39	0,40	0,75	
mir-222	0,62	0,09	0,16	0,45	0,79	
<b>mir-let7d</b>	<b>0,81</b>	<b>0,07</b>	<b>0,00</b>	<b>0,67</b>	<b>0,96</b>	<b>8,1</b>

Table S1C ROC curves for miRs distinguishing RA

